

감과實의 탄닌物質의 生成 및 脱澱機構에 關한 研究

제 2 보 : 탄닌 細胞의 現미경적 관찰

孫 泰華 · 成 宗煥*

慶北大學校 食品加工學科, *密陽農業專門大學 食品製造科
(1981년 6월 11일 수리)

Studies on the Mechanism of Nonastrigency and Production of Tannin in Persimmon Fruits

II. Microscopic Observation of Tannin Cells in Persimmon Fruits during Growth

Tae-Hwa Sohn and Jong-Hwan Seong*

Department of Food Technology, Kyungpook National University, Daegu 635

*Department of Food Technology, Milyang Agricultural and Sericultural Junior College

(Received June 11, 1981)

Abstract

In order to clarify the removal of astringency in persimmon fruits (*Diospyros kaki L.*) and its mechanism, a comparative histology of tannin cells in the cultivars of astringent persimmon fruits (Sangju Dungsi, Daegu Bansi, Cheongdo Bansi) and a sweet persimmon fruit (Fuyu) was observed.

Tannin cells were widespread in all fruits tissue except for early tissue of ovule before full blossom. The epidermal cells of ovary, flower and calyx consist of tannin cell. Arrangement of tannin cells has radiated type toward the upper directions in the calyx. The major part of seed coat consisted of tannin cells.

The epidermal cells of persimmon fruits were consisted of small tannin cells, and the inner part of epicarp of the astringent persimmon was consisted of stone cells, but the sweet persimmon was consisted of parenchymatous cells.

It was suggested that differentiation of tannin cell in persimmon fruits occurred until about the middle of August. Some tannin cells of matured astringent persimmon fruits was coagulated and wall of tannin cell produced protuberance, and most of tannin cells of matured sweet persimmon fruits was coagulated or ruptured.

序 論

감과實(*Diospyros kaki L.*)은 보통 收穫期까지 樹上에서 脱澱된 정도에 따라 단감과 떫은감으로 구분하

고 있다. 이러한 구분은 결국 品種에 따른 脱澱速度의 差異라 할 수 있다. 品種에 따른 脱澱速度의 差異는 현재까지 alcohol dehydrogenase活性의 差異⁽¹⁾, 탄닌(tannin) 物質組成의 差異⁽²⁾, 탄닌細胞의 gel化의 差異⁽³⁾ 等의 결과로 추정하고 있으나 불확실한 사실

이 많이 있다. 감果實의 脱離은 탄닌 細胞내에 含有되어 있는 탄닌 物質이 縮合하여 不溶性 즉 縮合型 탄닌⁽⁴⁾으로 되는 것으로, 이러한 現象은 탄닌 細胞 内部에서 일어난다. 脱離과 關連한 탄닌 細胞의 관찰은 Lloyd⁽⁵⁾가 처음으로 시도했으며 그 후 德川等^(6,7)이 成熟한 단감의 탄닌 細胞를 관찰한 바 있고, 北川⁽⁸⁾는 脱離한 감果實의 탄닌 紡胞를 관찰하여 褶變型, 收縮型, 凝固型 및 破裂型 等 다섯 종류로 분류하였다. 그 후 吉村等⁽⁹⁾은 脱離過程中에 일어나는 탄닌 細胞의 변화에 대하여 관찰한 바 있다. 그러나 탄닌 細胞에 대한 根本적인 문제인 탄닌 細胞의 分化, 肥大, 分布 그리고 단감과 떨은감의 탄닌 細胞의 差異 等도 脱離 및 탄닌 生成과 관련하여 매우 중요하다고 생각된다. 그러나 여기에 대한 報告는 거의 없어 본인 등은 開花前부터 果實의 成熟期까지 단감과 떨은감의 탄닌 紒胞를 比較 觀察하였기에 報告하는 바이다.

材料 및 方法

本試驗에 사용한 감果實은 떨은감 품종으로 種子形成力이 弱한 清道盤柿(Cheongdo Banshi: 清道郡一圓)와 種子形成力이 強한 大邱盤柿(Daegu Banshi: 慶北大附屬農場), 그리고 단감 품종인 상주동시(Sangju Dungsi: 尚州郡一圓)를 사용하였다. 이와 대조적인 단감 품종으로 富有(Fuyu: 慶北大附屬農場)를 사용하였고, 이들을 5月 初旬부터 10月 下旬까지 經時的으로 收穫하여 試料로 하였다. 탄닌 紒胞의 관찰은 部位別로 3 mm 정도의 크기로 hand section하고 10% 중성 포르마린(formalin) 용액으로 固定한 후 standard paraffin method⁽¹⁰⁾로 10~15 μ의 連續切片을 얻어 鹽化 第2鐵⁽⁸⁾ 또는 Heidenhein's Iron-Hematoxylin⁽⁶⁾으로 染色하여 永久標本⁽¹⁰⁾을 제작한 후 현미경으로 관찰하였다.

結果 및 考察

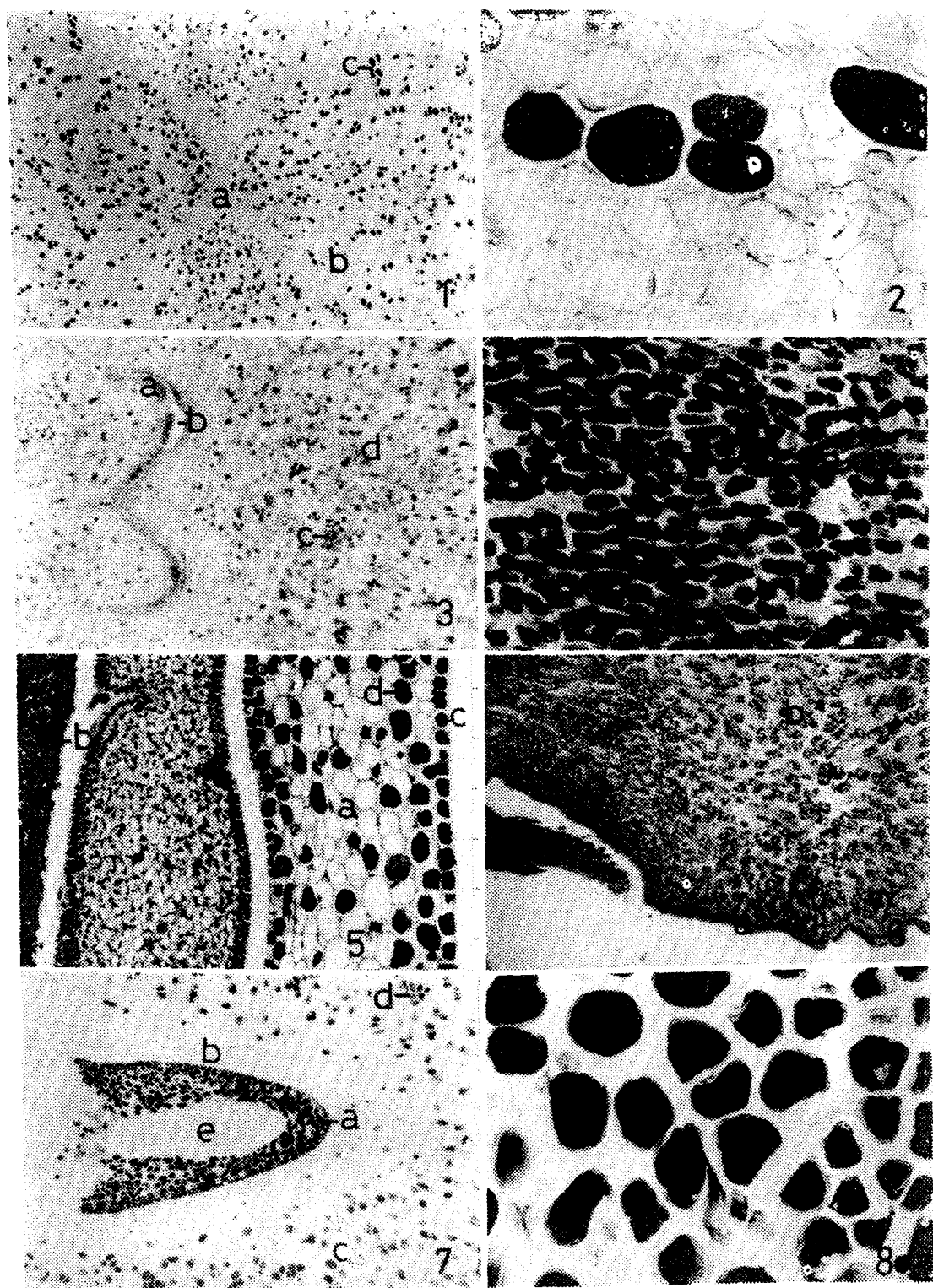
단감과 떨은감의 탄닌 紒胞를 成長中에 관찰하기 위하여 開花前 약 0.3g 크기의 子房을 cross section하여 FeCl₃로 染色한結果, 단감과 떨은감 모두 開花前부터 탄닌 紒胞는 分化하고 있었으나, 탄닌 紒胞의 크기, 分布 및 密度는 다소 差異가 있었다(Plate 1).

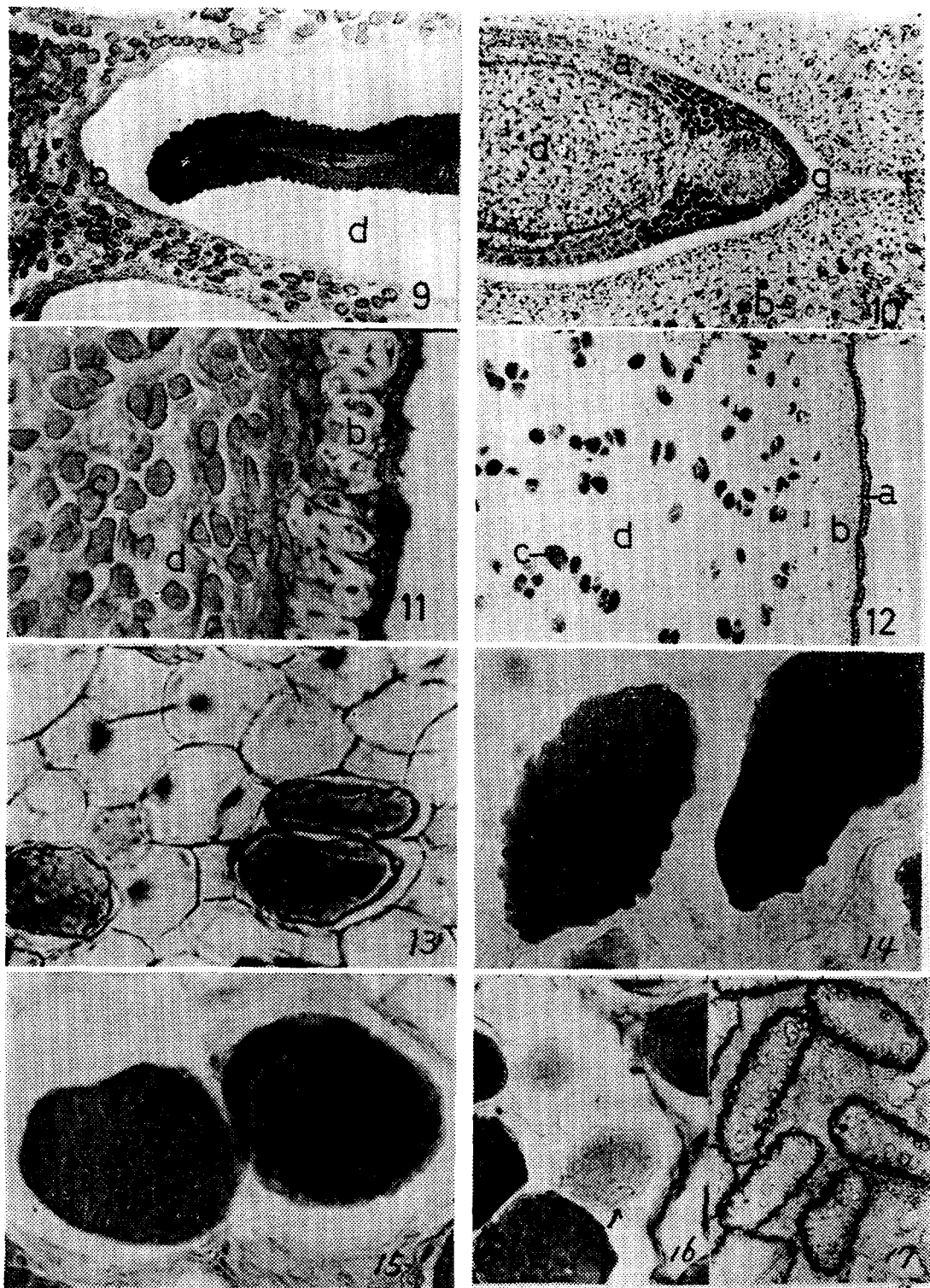
Plate 1은 단감 품종인 富有의 開花前 子房인데, 黑色으로 染色된 탄닌 紒胞는 開花前부터 거의 모든 곳에 널리 分布하고 있었으며, 단감과 떨은감 모두 胚珠의 初期組織에는 탄닌 紒胞가 存在하지 않았다. 탄닌 紒胞의 分布를 보면 떨은감이 더 稠密하였다. 어느 것이

나 胚珠의 初期組織에 가까운 곳이 다른 部位에 비하여 다소 稠密하였다. 그리고 탄닌 紒胞는 몇개씩 모여서 group 단위로 관찰되었는데, 이는 감의 柔組織의 紒胞相互間에 일어나는 原形質系(protoplasmic thread)를 통한 原形質의 連絡(plasmodesmata)과 관련이 있을 것으로 생각된다⁽¹³⁾ (Plate 2). 開花前 子房內 탄닌 紒胞의 크기는 0.5~2 μ(長軸)인데 子房內部보다 外部의 것이 컸다. 그러나 단감의 탄닌 紒胞는 떨은감의 것에 비하면 크기도 적고 密度도 낮으나 分布는 類似한 정도였다(Plate 4).

감果實의 유관속의 筛管部內에서도 탄닌 物質의 존재를 관찰할 수 있었는데(Plate 4), 이는 吉村等⁽⁹⁾의 報告와 일치하며 감葉의 유관속 중 筛管部內에서도 탄닌 物質을 본인 등⁽¹⁴⁾은 관찰한 바 있다. 開花時 花瓣과 花柱에도 탄닌 紒胞가 存在하고 있었으며 특히 그들의 表皮細胞도 탄닌 紒胞로 이루어져 있었다(Plate 5-c). 그리고 花瓣과 子房 사이에 있는 外表皮細胞도 거의 대부분 크기가 작은 탄닌 紒胞로 이루어졌음을 알 수 있었다(Plate 5). 開花後 10日頃 尚州盤柿의 어린 果實을 longitudinal section하여 관찰한 결과 다른 품종에 비하여 탄닌 紒胞는 대단히 稠密하였으며, 그 分布를 보면 中果皮에서 끝자루와 外果皮쪽으로 갈수록 稠密하였고, 그 配列은 끝자루에서 頂部쪽을 향한 放射型임을 알 수 있었다(Plate 6). 開花後 20日頃 감果實의 内果皮 및 種子部位를 관찰한 결과는 Plate 7, 8, 9 및 10과 같다. 種子形成力이 強한 大邱盤柿는 種皮가 거의 단단한 紒胞로 이루어져 있었는데, 이는 種皮에 탄닌 紒胞가 가장 稠密하다는 宮林等⁽¹¹⁾의 報文과 일치하는 결과였다(Plate 8). 種子形成力이 弱한 清道盤柿의 種子는 小果(2g 內外)일 때 이미 退化해 있었다(Plate 9). 단감 품종인 富有의 種子部位는 떨은감의 形態와 다소 차이가 있었다. 그중 種皮는 그 대부분이 탄닌 紒胞로 형성되었으며 染色程度에 있어 다소 차이가 보였다. 그리고 内果皮에는 탄닌 紒胞가 거의 存在하지 않았다(Plate 10). 大邱盤柿와 富有의 外果皮에 表皮는 미세한 탄닌 紒胞로 이루어져 있었고 表皮 아래쪽의 外果皮는 품종에 따라 差異가 있었다. 즉 大邱盤柿는 石細胞로 이루어져 있었으나, 富有는 크기가 다소 적은 一般細胞로 이루어져 있었다(Plate 11, 12). 탄닌 紒胞의 分化와 감果實의 成長中 탄닌 紒胞의 肥大를 조사하기 위하여 탄닌 紒胞의 크기와 果實의 相對生長을 調査한 결과는 Fig. 1과 같다.

단감의 탄닌 紒胞의 크기(長軸)는 子房이 1g 정도 일때 23 μ内外였고, 成熟했을 때는 300~400 μ였다. 그 반면 떨은감의 탄닌 紒胞는 富有에 비하여 탄닌 紒胞의 크기가 전반적으로 커으며, 成熟時의 탄닌 紒胞





Observation of tannin cell in persimmon fruits during growth

Plate 1. Transverse section through ovary of sweet persimmon at 10 days before full blossom
4% solution of FeCl_3 stained ($\times 40$)
(a) Early tissue of ovule, (b) Mesocarp
(c) Tannin cell

Plate 2. Transverse section through ovary of sweet persimmon at 10 days before full blossom
4% solution of FeCl_3 stained ($\times 400$)
A group of tannin cell in persimmon tissue

Plate 3. Transverse section through ovary of sweet persimmon at 5 days before full blossom
Heidenhein's iron-hematoxylin stained ($\times 40$)
(a) Early tissue of ovule, (b) Loculus of ovule
(c) Tannin cell (d) Mesocarp

Plate 4. Longitudinal section through Daegu Bansi persimmon at 10 days before full blossom
4% solution of FeCl_3 stained ($\times 150$)
(a) Tannin cell, (b) Vascular bundles

Plate 5. Transverse section through calyx of a flower at full blossom
Heidenhein's iron-hematoxylin stained ($\times 50$)
(a) Calyx, (b) Epicarp, (c) Epidermal cell
(d) Tannin cell

Plate 6. Longitudinal section through Sangju Dungsги at 10 days after full blossom
4% solution of FeCl_3 stained ($\times 30$)
(a) Epicarp, (b) Mesocarp, (c) Upper part of pedicel, (d) Calyx

Plate 7. Longitudinal section through Daegu Bansi at 18 days after full blossom
4% solution of FeCl_3 stained ($\times 100$)
(a) Seed coat, (b) Endocarp, (c) Mesocarp
(d) Tannin cell, (e) Endosperm

Plate 8. Tannin cell of seed coat in sweet persimmon fruits
4% solution of FeCl_3 stained ($\times 400$)

Plate 9. Longitudinal section through seed of Cheongdo Bansi having weak seed-producing

abilities (at 18 days after full blossom)
4% solution of FeCl_3 stained ($\times 150$)
(a) Degenerated seed, (b) Endocarp, (c) Tannin cell, (d) Loculus of ovule, (e) Endosperm

Plate 10. Longitudinal section through seed of sweet persimmon fruits at 14 days after full blossom
Heidenhein's iron-hematoxylin stained ($\times 150$)
(a) Seed coat, (b) Tannin cell, (c) Endocarp
(d) Endosperm, (e) Epidermis of carpel
(f) Loculus of ovule

Plate 11. Transverse section through Daegu Bansi in astringent persimmon fruits at 25 days after full blossom
4% solution of FeCl_3 stained ($\times 150$)
(a) Epidermis, (b) Stone cell, (c) Tannin cell
(d) Parenchymatous cell

Plate 12. Transverse section through sweet persimmon fruits at 20 days after full blossom
Heidenhein's iron-hematoxylin stained ($\times 150$)
(a) Epidermis, (b) Inner epidermal cell
(c) Tannin cell, (d) Mesocarp

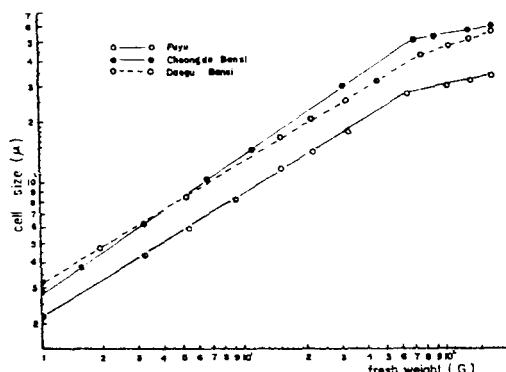
Plate 13. Tannin cell in sweet persimmon fruits at 60 days after full blossom
Heidenhein's ironhematoxylin stained ($\times 200$)

Plate 14. Tannin cell in matured fruits of astringent persimmon
4% solution of FeCl_3 stained ($\times 600$)

Plate 15. Tannin cell in matured fruits of sweet persimmon
4% solution of FeCl_3 stained ($\times 600$)

Plate 16. Ruptured tannin cell (Arrow) and coagulated tannin cell in matured fruits of sweet persimmon
4% solution of FeCl_3 stained ($\times 400$)

Plate 17. Tannin cell in over-ripened astringent persimmon fruits
Unstained ($\times 150$)

**Fig. 1. Elongation of tannin cell on growth**

의 크기는 500~600 μ 내외였다.

相對生長에 따른 탄닌細胞는 전반적으로重量이 70 g 정도로 될때 까지對數의으로肥大됨을 알 수 있었다. 이로 미루어 볼때 탄닌細胞는 7月下旬에서 8月初旬頃까지分化되고 있음을 알 수 있었으며 이는 狩野等⁽⁸⁾의 報文과 거의 일치하는 결과였다. 그리고 이 時期에 蘆은감과 단감의 탄닌細胞를 관찰한 결과 蘆은감의 탄닌細胞는 큰 변화가 없었으나, 단감인 富有柿의 탄닌細细胞는 原形質이 分離된 상태였음을 알 수 있었다(Plate 13).

탄닌細胞의 分布는 開花前 子房內에서도 관찰된 것과 같이 몇개의 탄닌細细胞가 모여서 하나의 群을 이루며, 이러한 群들이 거의 모든組織內에 分布되어 있었다. 成熟後 탄닌細细胞의 型을 보면 단감의 탄닌細细胞는 전반적으로 등근형이었고, 蘆은감은 타원형에 가까웠다. 그리고 탄닌細细胞의 壁은 단감, 蘆은감 어느 것이나 많이 손상되어 있었다(Plate 14, 15, —→). 특히 蘆은감의 탄닌細细胞壁에는 突起가 생성되었는데(Plate 14, —→), 이는 北川⁽⁸⁾이 分離型의 탄닌細细胞로 分類한 바 있다. 이것으로 미루어 볼때, 成熟한 蘆은감의 탄닌細细胞도一部는 凝固되어 있음을 알 수 있었다. 蘆은감의 軟柿의 탄닌細细胞壁에도 많은 突起가 생성되어 있었고(Plate 17), 染色을 하지 않고도 凝固된 탄닌細细胞를 관찰할 수 있었다. 단감의 탄닌細细胞도 다소 파괴되어 内部의 탄닌物質이 外部로 흘러나온 것을 관찰할 수 있었는데(Plate 16, —→), 이는 北川이⁽⁸⁾ 破裂型 탄닌細细胞로 分類한 바 있다.

要 約

감果實(*Diospyros kaki L.*)의 脫澱機構 및 탄닌物質의 生成에 대한 調査의 一環으로 단감인 富有와 蘆은감인 清道盤柿, 大邱盤柿, 尚州등柿 等 4品種을 사

용하여 成長中의 탄닌細细胞를 관찰한 결과는 다음과 같다.

1. 開花前부터 탄닌細细胞는 子房內에 널리存在하였으나, 胚珠의 初期組織 内部에는 탄닌細细胞가 존재하지 않았다.
2. 子房, 花被, 果實 等의 表皮細细胞는 모두 탄닌細细胞로 이루어졌다.
3. 탄닌細细胞의 配列은 粗粒部位에서 頂部쪽을 향한 放射型이었다.
4. 蘆은감의 表皮内部는 石細胞인 반면, 단감에서는 적은 一般細胞로 이루어져 있었다.
5. 탄닌細细胞는 몇개씩 모여서 하나의 群을 이루었다.
6. 단감의 탄닌細细胞는 球型인 반면 蘆은감의 탄닌細细胞는 타원형에 가까웠다.
7. 탄닌細细胞의 분포는 단감, 蘆은감 모두 類似하였으나 密度는 蘆은감이 높았으며 크기도 커다.
8. 成熟한 단감의 탄닌細细胞는 凝固되어 있었고 一部는 破裂되어 있었다.
9. 蘆은감의 탄닌細细胞는 成熟時 細胞壁에 많은 突起가 생성되어 있었다.

文 獻

1. Ito, S. and Y. Oshima: *Agr. Biol. Chem.*, 26, 151 (1962)
2. 駒澤利雄, 内田泉: 日農產加枝研誌, 3(2), 69 (1956)
3. 中林敏郎: 日食品工誌, 18(1), 33 (1971)
4. 北川博敏: 日園學雜, 37(1), 89 (1968)
5. Lloyd, F. E.: *Trans. Roy. Soc. Can. Ser. 5*, (1912)
6. 德川義親, 湯淺明: 日植物學誌, 50 (593), 278 (1936)
7. Joslyn, M. A. and Goldstein, J.: *Agr. Food Chem.*, 12(6), 511 (1964)
8. 北川博敏: 日園學誌, 37(1), 89 (1970)
9. 吉村不二南, 楠本正次: *Research Reports of the Kochi University*, Vol. 23, Agr. Sci. 6, p. 65 (1974)
10. 木島正夫: 植物形態學の 實驗法, 廣川書店, 東京, p. 42 (1974)
11. 宮林達夫: 日園學誌, 12, 143 (1941).
12. 北川博敏: カキの 栽培と 利用, 養賢堂, 東京, p. 45 (1970)
13. 市川收: 食品組織學, 光生館, 東京, p. 86 (1970)
14. 孫泰華, 成宗煥: 慶北大學校 大學院 論文集(19 75)